



Nicole Borho (Autor)

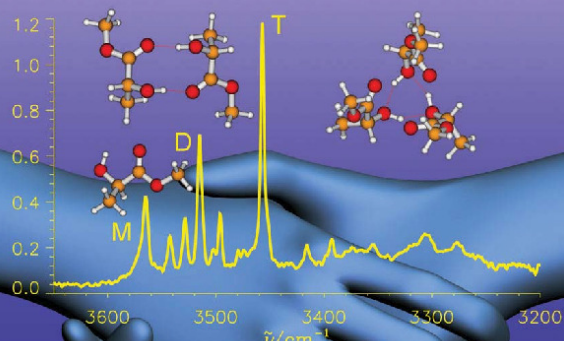
## Chirale Erkennung in Molekülclustern:

Maßgeschneiderte Aggregation von  $\alpha$ -Hydroxyestern

Nicole Borho

### Chirale Erkennung in Molekülclustern:

Maßgeschneiderte Aggregation von  $\alpha$ -Hydroxyestern



 Cuvillier Verlag Göttingen

<https://cuvillier.de/de/shop/publications/2684>

Copyright:

Cuvillier Verlag, Inhaberin Annette Jentzsch-Cuvillier, Nonnenstieg 8, 37075 Göttingen,  
Germany

Telefon: +49 (0)551 54724-0, E-Mail: [info@cuvillier.de](mailto:info@cuvillier.de), Website: <https://cuvillier.de>

# Inhaltsverzeichnis

<b>Zusammenfassung</b>	<b>xi</b>
<b>Einleitung</b>	<b>xiii</b>
<b>1 Grundlagen</b>	<b>1</b>
1.1 FTIR-Spektroskopie . . . . .	1
1.2 Überschallexpansion . . . . .	6
1.3 Wechselwirkungen zwischen chiralen Molekülen . . . . .	8
1.4 Quantenchemische Rechnungen . . . . .	11
<b>2 Experimentelles</b>	<b>13</b>
2.1 Das Filet-Jet Cluster-Spektrometer . . . . .	14
2.1.1 600 mm Schlitzdüse . . . . .	14
2.1.2 Jetkammer . . . . .	18
2.1.3 Probenzufuhr . . . . .	19
2.1.4 Reservoir . . . . .	19
2.1.5 Puffervolumen . . . . .	20
2.1.6 Pumpkapazität . . . . .	21
2.1.7 FTIR-Spektrometer Equinox 55 . . . . .	22
2.1.8 Detektorkammer . . . . .	22
2.2 Synchronisation und Datenaufnahme . . . . .	23
2.3 Charakterisierung der Expansion . . . . .	26
2.3.1 Durchflussrate . . . . .	26
2.3.2 Druckprofil . . . . .	27
2.4 Vergleich von Filet- und Ragout-Jet . . . . .	32
2.5 Konzentrationsbestimmung . . . . .	34
2.6 Abschätzung der Teilchenanzahldichte . . . . .	34
2.7 Probenpräparation . . . . .	35
<b>3 Milchsäuremethylester</b>	<b>37</b>
3.1 Experimentelle Ergebnisse . . . . .	38
3.1.1 Das Reinenantiomer . . . . .	38

3.1.2	Die racemische Mischung . . . . .	43
3.1.3	Differenzanalyse der Spektren . . . . .	46
3.1.4	Der C=O- und der C-O-Bereich . . . . .	51
3.1.5	Argon-Beimischung . . . . .	53
3.1.6	Milchsäuremethylester in verschiedenen Aggregatzuständen . . . . .	55
3.2	Cluster-Geometrien . . . . .	56
3.2.1	Monomer . . . . .	56
3.2.2	Dimere . . . . .	57
	3.2.2.1 Topologie der Wasserstoffbrückenbindungen . .	58
	3.2.2.2 Isomerie der 8-Ringe . . . . .	60
	3.2.2.3 Isomerie der 5-Ringe . . . . .	62
	3.2.2.4 Assoziativ gebundene Dimere . . . . .	65
	3.2.2.5 Stabilität der selektierten MLac-Dimere . . .	66
	3.2.2.6 Beschreibung der günstigsten MLac Dimere . .	68
3.2.3	Trimere . . . . .	70
	3.2.3.1 Homochirale Trimere . . . . .	70
	3.2.3.2 Heterochirale Trimere . . . . .	75
3.2.4	Tetramere . . . . .	75
3.3	Bandenzuordnung . . . . .	77
3.4	Diskussion . . . . .	80
<b>4</b>	<b>Milchsäure-Ethyl-, Isopropyl- und <i>tert</i>-Butyl-Ester</b>	<b>85</b>
4.1	Milchsäureethylester . . . . .	85
4.2	Milchsäureisopropylester . . . . .	89
4.3	Milchsäure- <i>tert</i> -Butylester . . . . .	90
4.4	Vergleich der Milchsäureester . . . . .	93
<b>5</b>	<b>Achirale <math>\alpha</math>-Hydroxymethylester</b>	<b>97</b>
5.1	Glykolsäuremethylester . . . . .	97
	5.1.1 Die O-H-Streckschwingung . . . . .	98
	5.1.2 Argon-Beimischung . . . . .	103
	5.1.3 Panorama-Spektren von MGly . . . . .	105
5.2	$\alpha$ -Hydroxyisobuttersäuremethylester . . . . .	107
	5.2.1 Die O-H-Streckschwingung . . . . .	107
	5.2.2 Argon-Beimischung . . . . .	109
5.3	Clusterisomerie von MGly . . . . .	110
5.4	Vergleich der $\alpha$ -Hydroxymethylester . . . . .	114

<b>6 α-Hydroxyketone</b>	<b>119</b>
6.1 Monohydroxyaceton . . . . .	119
6.2 3-Hydroxy-2-Butanon . . . . .	121
6.3 3-Hydroxy-3-Methyl-2-Butanon . . . . .	123
6.4 Vergleich der α-Hydroxyketone . . . . .	124
<b>7 Gemischte Alkohol-Cluster</b>	<b>129</b>
7.1 UV-IR-Spektroskopie von NapOH-MLac . . . . .	130
7.2 MLac-Methanol-Cluster . . . . .	132
7.3 MLac- <i>tert</i> -Butanol-Cluster . . . . .	138
7.4 MLac-Glycidol-Cluster . . . . .	139
7.5 Zusammenfassung . . . . .	141
<b>8 Andere Substanzklassen</b>	<b>145</b>
8.1 1-Methoxy-2-Propanol . . . . .	145
8.2 β-Hydroxisobuttersäuremethylester . . . . .	149
8.3 Ungesättigte chirale Alkohole . . . . .	151
<b>9 Diskussion</b>	<b>155</b>
9.1 Aggregation von Milchsäuremethylester . . . . .	155
9.2 Molekulare Erkennung in α-Hydroxyestern . . . . .	160
<b>10 Ausblick</b>	<b>163</b>
10.1 Das Potenzial des Filet-Jets . . . . .	163
10.2 Chirale Erkennung . . . . .	164
<b>A Optik- und Synchronisations-Parameter</b>	<b>169</b>
A.1 TRS-Methode . . . . .	170
A.2 Macro . . . . .	171
A.2.1 Macro Jet_8: Aufnahme der Spektren . . . . .	171
A.2.2 Macro Jet_calc10neu: Berechnung der gemittelten Absorptionsspektren . . . . .	173
<b>B Geometrien der MLac-Cluster</b>	<b>175</b>
<b>Literaturverzeichnis</b>	<b>178</b>